DOI: 10.13652/j.spjx.1003.5788.2025.80290

Fe³⁺配位调控分光光度法快速检测 3,4-二羟基苯乙醇

周隽涵 郑建仙 孙 璐

(华南理工大学,广东 广州 510641)

摘要:[目的]解决在4-羟基苯乙醇(HPET)催化体系中快速检测3,4-二羟基苯乙醇(DHPET)因传统紫外分光光度法光谱重叠干扰受限问题。[方法]针对现有方法特异性不足的问题,提出基于Fe³+配位调控的分光光度快速检测法,通过Fe³+与DHPET邻苯二酚基团的双齿螯合作用,诱导特征吸收光谱红移至760 nm,显著区别于单酚化合物的弱配位响应。[结果]优化条件后,方法线性范围为3~100 mmol/L(R²=0.998),检出限为0.709 mmol/L,精密度(RSD)<2%,满足工业催化体系实时监测需求。[结论]双齿配位增强选择性的分子机制在酶催化体系中具有实用性,可为DHPET工业化生产提供低成本、快速的分析工具。

关键词:紫外—可见分光光度法;Fe3+配位;3,4-二羟基苯乙醇;选择性检测;金属—多酚络合

Rapid detection of 3,4-dihydroxyphenylethanol by ultraviolet spectrophotometry based on Fe³⁺ coordination modulation

ZHOU Junhan ZHENG Jianxian SUN Lu

(South China University of Technology, Guangzhou, Guangdong 510641, China)

Abstract: [Objective] To address the limitation of spectral overlap interference in the rapid detection of 3,4-dihydroxyphenylethanol (DHPET) within the 4-hydroxyphenethyl alcohol (HPET) catalytic system using traditional ultraviolet spectrophotometry. [Methods] To overcome the insufficient specificity of existing methods, a rapid spectrophotometric detection method based on Fe³⁺ coordination modulation was proposed. Through bidentate chelation between Fe³⁺ and the catechol group of DHPET, the characteristic absorption spectrum was induced to undergo a bathochromic shift to 760 nm, significantly distinguishing it from the weak coordination response of monophenolic compounds. [Results] After optimization, the method exhibited a linear range of $3\sim100 \text{ mmol/L}$ ($R^2=0.998$), a detection limit of 0.709 mmol/L, and precision with RSD<2%, meeting the requirements for real-time monitoring in industrial catalytic systems. [Conclusion] The molecular mechanism of enhanced selectivity through bidentate coordination is practical in enzymatic catalytic systems, providing a low-cost, rapid analytical tool for the industrial production of DHPET.

Keywords: UV spectrophotometry; Fe³⁺ coordination; 3,4-dihydroxyphenylethanol; selective detection; metal-polyphenol complexation

3,4-二羟基苯乙醇(3,4-dihydroxyphenylethanol,DHPET)是一种天然多酚化合物,广泛存在于橄榄及其衍生产品中,凭借其邻苯二酚结构的强抗氧化与抗菌活性^[1],在食品保鲜、医药及功能性食品领域展现出重要应用潜力。使用4-羟基苯乙醇(4-hydroxyphenethyl alcohol,HPET)作为底物进行生物转化是获得DHPET的最方便

快捷的途径^[2],优势在于反应体系仅存在 DHPET 和HPET 两种化合物,无需复杂分离,且酶法相比于化学合成法具有高度的立体选择性和化学选择性^[3]。

但现开发的定量区分 DHPET 与 HPET 的方法较为传统,以高效液相色谱(HPLC)和液相色谱—质谱联用(LC-MS)为主。Piñeiro等[4]开发了—种荧光检测高效液相色

通信作者:郑建仙(1966—),男,华南理工大学教授,博士。E-mail: fejxzhen@scut.edu.cn

收稿日期:2025-03-30 改回日期:2025-07-04

引用格式:周隽涵,郑建仙,孙璐.Fe³⁺配位调控分光光度法快速检测3,4-二羟基苯乙醇[J].食品与机械,2025,41(9):42-51.

Citation: ZHOU Junhan, ZHENG Jianxian, SUN Lu. Rapid detection of 3,4-dihydroxyphenylethanol by ultraviolet spectrophotometry based on Fe³⁺ coordination modulation [J]. Food & Machinery, 2025, 41(9): 42-51.

谱方法(HPLC-FLD),用于检测 DHPET和 HPET; Miralles 等[5] 通过液相色谱法测定橄榄提取物中的 DHPET和 HPET,用于化妆品的质量控制。现有检测方法虽精度高,但仪器昂贵、前处理复杂,难以满足优化反应进程中快速检测需求;且 DHPET/HPET 酶促反应因其体系简单而被广泛应用,复杂的检测工序与优化反应简便的目的背道而驰。传统紫外分光光度法虽操作简便,但因 DHPET光谱于非可见光区域,且与其反应前体 HPET 互为结构类似物,其特征吸收峰光谱重叠,检测特异性不足,限制了其在酶催化工艺优化体系中的应用。

非共价配位化学为提升光谱检测选择性提供了新思路,金属离子与酚类化合物的配位作用可通过调控电子跃迁路径,诱导特征吸收峰位移,从而增强目标物的光谱响应特异性。Sun等[6]开发了一种铁/氮共掺杂碳点(Fe/N-CDs),结合紫外一可见吸收与荧光光谱双模式检测多巴胺,其检测限低至0.13 µmol/L,且抗干扰能力显著优于传统单波长法;Espina等[7]系统研究了铁一单宁酸复合物的多光谱学特性,发现邻苯二酚基团与Fe³+的配位作用可诱导吸收光谱红移,并通过特征峰分离实现多酚的精准识别。这些成果为克服在含大量HPET中检测DHPET的光谱干扰问题提供了重要启示:通过引入金属配位反应调控吸收特性,可能成为优化分光光度法选择性的有效途径。

现有关于天然产物含量研究多集中于多酚定性分析,针对DHPET 定量检测的配位策略及条件优化尚未系统开展,此类定性研究方法不适用于生产 DHPET 中过程监测,且对共存干扰物 HPET 的抗干扰机制缺乏深入解析。基于此,研究拟提出一种基于 Fe³⁺配位调控的紫外一可见分光光度法,通过系统研究 Fe-DHPET 络合物形成的影响,优化显色反应条件,建立适用于 HPET 催化反应基质的检测方法,以期实现 DHPET 的高效、精准检测。

1 材料与方法

1.1 材料与仪器

1.1.1 材料与试剂

4-羟基苯乙醇、3,4-二羟基苯乙醇:分析纯,上海源叶 生物科技有限公司;

六水合氯化铁、六水合氯化铝:分析纯,上海麦克林 生化科技有限公司;

二水合氯化铜:分析纯,上海阿拉丁生化科技有限公司;

氢氧化钠:分析纯,上海毕得医药科技股份有限公司;

浓盐酸:分析纯,广州化学试剂厂;

乙腈:色谱纯,上海阿拉丁生化科技有限公司;

乙酸:色谱纯,上海麦克林生化科技有限公司;

酪氨酸酶(菌菇源)、还原型辅酶 I (NADH)、黄素腺

嘌呤二核苷酸(FAD):上海源叶生物科技有限公司。

1.1.2 主要仪器设备

精密电子天平:BSM-220.4型,上海卓精电子科技有限公司:

集热式恒温加热磁力搅拌器:HS8Pro型,群安科学仪器(浙江)有限公司;

纯水机: AZX-08UC-C3+2B型, 深圳市安吉尔实业有限公司:

超声波清洗仪: CD-D10型, 亦为超声技术(深圳)有限公司;

紫外一可见分光光度计:UV-3200S型,上海美谱达仪器有限公司:

高效液相色谱仪: Agilent 1200型, 美国安捷伦(Agilent)公司;

pH计:PHS-3E型,上海仪电科学仪器股份有限公司; 气浴振荡摇床:TS-200B型,苏州川恒仪器有限公司。 1.2 方法

1.2.1 标准溶液与供试溶液制备

- (1) 4-羟基苯乙醇(HPET)标准储备液(100 mmol/L): 精确称取 HPET 138.16 mg,溶于适量超纯水中,超声助溶 5 min,转移至 10 mL 容量瓶,定容,4 ℃避光保存。
- (2) 3,4-二羟基苯乙醇(DHPET)标准储备液(100 mmol/L):精确称取 DHPET 154.16 mg,按上述方法配制,储存于棕色玻璃瓶。
- (3) 系列单组分标准工作液(0~100 mmol/L):分别移取 DHPET(或 HPET)标准储备液至 10 mL容量瓶中,用超纯水定容,配制 10~100 mmol/L系列溶液。
- (4) DHPET/HPET 混合标准溶液(模拟实际样品):移取 9.8 mL 100 mmol/L DHPET+0.2 mL 100 mmol/L HPET,定容至10 mL,即得98% DHPET(2% HPET)混合液。移取9.6 mL DHPET+0.4 mL HPET,定容至10 mL,即得96% DHPET(4% HPET)混合液。以此类推,按比例配制94%,92%,90% DHPET混合液。
- (5) 氯化铁溶液(100 mmol/L): 称取 FeCl₃·6H₂O 270.3 mg,溶于5 mL超纯水,加人10 μ L浓盐酸抑制水解,磁力搅拌10 min,转移至10 mL容量瓶,定容至刻度线,4 \mathbb{C} 避光保存。
- (6) 氯化铜溶液(100 mmol/L): 称取 $CuCl_2 \cdot 2H_2O$ 170.48 mg, 溶于超纯水, 超声溶解后定容至 10 mL, 储存于棕色瓶。
- (7) 氯化铝溶液(100 mmol/L, AlCl₃·6H₂O): 称取 AlCl₃·6H₂O 241.43 mg,溶于超纯水,定容至10 mL,现用 和配
- (8) 氢氧化钠溶液(1 mol/L): 称取 NaOH 0.4 g, 溶于超纯水, 定容至10 mL, 现用现配。
- (9) 稀盐酸溶液(1 mol/L):量取 8.26 mL,溶于 5 mL 超纯水,定容至100 mL,避光保存。

- 1.2.2 显色试剂选择 在比色管中依次加入体积比为 3: 1 的 HPET或 DHPET标准溶液 (100 mmol/L)与金属离子 (Fe³⁺、Cu²⁺、Al³⁺)标准溶液。摇匀后放置,同时配制相应的试剂空白溶液,以试剂空白作参比在 190~900 nm 区间内用 10 mmol/L 比色皿测量吸光度,扫描间隔 1 nm。
- 1.2.3 显色底物选择 采用 DHPET/HPET 混合标准溶液模拟实际样品,按 1.2.2 体系配制反应液后以相同方法测量。

1.2.4 反应条件优化

- (1)浓度优化:在比色管中依次加入体积比为3:1,2:1,1:1,1:2,1:3的 HPET或 DHPET标准溶液(100 mmol/L)与筛选后金属离子标准溶液,检测方法同1.2.2。
- (2) 酸碱度优化:依照上述方法配制显色体系,在比色管中依次加入不同量的氢氧化钠标准溶液调节pH,检测方法同1,2.2。
- 1.2.5 方法特性指标确认 根据 HJ 168—2020 方法,特性指标包括检出限、测定范围(测定下限、测定上限)、准确度(精密度、正确度)。
- (1)检出限(LOD值)验证:分别准确加入浓度10~100 mmol/L DHPET标准溶液配制梯度。同1.2.2试验方法操作测量吸光度绘制工作曲线。重复7次空白试验,回归计算后扣除空白值后与0.01吸光度相对应的浓度值作为检出限,按式(1)计算方法检出限。以4倍检出限作为测定下限。结合方法校准曲线的上限、适宜的稀释倍数,测定方法上下限。

$$L_{\rm ob} = \frac{0.01}{b},\tag{1}$$

式中:

Lop——检出限,mmol/L;

b——工作曲线斜率。

(2) 精密度和正确度验证:选取高、中、低3个不同浓度水平的统一样品进行测定。其中,高浓度样品选择校准曲线线性范围上限附近浓度,中浓度样品选择校准曲线中间点附近浓度,低浓度样品选择测定下限附近浓度。按上述方法配制10,50,80 mmol/L DHPET/HPET混合标准溶液模拟实际样品,每个浓度水平的样品按照全程序进行至少6次平行测定。分别计算各浓度水平下测定结果的平均值(x)、标准偏差(SD)、相对标准偏差(RSD)及相对误差(RE),以表征方法的重复性和精密度,评估方法的准确性和可靠性。全面验证方法在不同浓度范围内的精密度与正确度,确保分析结果的稳定性和准确性。分别按式(2)和式(3)计算相对标准偏差和相对误差。

$$R_{\rm SD} = \frac{S_{\rm D}}{\bar{x}} \times 100\%, \qquad (2)$$

$$R_{\rm E} = \frac{\bar{x} - \mu}{\mu} \times 100\%,$$
 (3)

式中:

 R_{SD} —相对标准偏差, mmol/L;

 $R_{\rm F}$ ——相对误差, mmol/L;

 S_{D} ——标准偏差, mmol/L;

 \bar{x} ——平均值, mmol/L;

 μ ——标准物质的浓度(含量),mmol/L。

1.2.6 方法比对与验证

- (1) 实际样品制备:在50 mL去离子水中溶解40 mmol/L4-羟基苯乙醇后,加人2 mL酪氨酸酶液(200 U/mL)、1 mmol/LNADH和3 μmol/LFAD作为酶还原剂。在30℃恒速通气0.8 L/min条件下,酶促反应1.5,3.0 h后分别取样,分别标记为1.5 h(样品1)、3.0 h(样品2)。
- (2) 方法比对:对实际催化反应样品采集 2个浓度水平接近的样品,分别采用新方法(分光光度法)与比对方法标准(液相色谱法)进行测定,获得至少 7组配对测定数据。其中液相色谱分析条件:色谱柱为反相 ODS 柱(250 mm×4.6 mm×5.0 μ mm);流动相:乙腈—0.1%乙酸水溶液($V_{Zh}:V_{0.1\%Zkkkk}=20:80$);流动相流速 1.0 mL/min;紫外检测波长 270 nm;柱温 25 °C;进样量 10.0 μ L;分析时长 10 min.
- (3)加标比对:向同一实际催化反应样品中加入标准溶液,通过分光光度法与液相色谱法2种方法同时测定样品及加标后催化样品浓度。加标质量浓度分别为10,20,40 mg/mL。按式(4)~式(6)计算加标回收率、加标回收率的标准偏差。

$$P_i = \frac{\bar{y}_i - \bar{x}_i}{"},\tag{4}$$

$$S_{\bar{p}} = \sqrt{\frac{\sum_{i=1}^{l} (P_i - \sum_{i=1}^{l} P_i / l)}{l - 1}},$$
 (5)

$$\bar{P} \pm 2S_{\bar{P}} = \frac{\sum_{i=1}^{l} P_i}{l} \pm 2\sqrt{\frac{\sum_{i=1}^{l} (P_i - \sum_{i=1}^{l} P_i / l)}{l - 1}},$$
(6)

式中:

 \bar{x}_i 一第 i 个对某一浓度或含量水平样品测试的平均值, mmol/L;

 \bar{v}_i ——第i个对加标样品测试的平均值,mmol/L;

 μ ——加标量(加标后的浓度不应超过方法线性范围的上限),mmol/L;

 P_i 一第 i 个加标回收率, mmol/L;

l——测定加标回收率总个数;

 \bar{P} ——l个验证加标回收率的均值, mmol/L;

 $S_{\bar{p}}$ 一l 个验证实验室加标回收率的标准偏差,mmol/L。

1.2.7 数据处理 所有试验结果表示为平均值士标准差。使用 SPSS Statistics 22.0 软件进行回归分析。利用 Origin 2021 软件绘图。

2 结果与分析

2.1 吸收光谱特征

2.1.1 不同金属离子络合作用 如图 1 所示, 3, 4-二羟基苯乙醇(DHPET)及 4-羟基苯乙醇(HPET)在未与金属复合时, 其紫外光谱分别在 210 nm 和约 270 nm 处显示出两段特征的酚类物质吸收带, 这些吸收带源自 π→π*跃迁的 K-bands 以及苯环共轭的 B-bands^[8], 与 DHPET/HPET 的典型光谱特性及文献[9]报道一致。在不同金属离子与 DHPET 及其结构类似物 HPET 的络合反应中, 观察到显著的溶液颜色变化及紫外—可见吸收光谱特征差异。

随着络合物形成,明显发现在 Cu²+与 Al³+体系中,Cu²+初始溶液呈浅蓝色,与 DHPET/HPET 反应后迅速褪为无色透明,与 Al³+反应产生的无色透明体系表现一致,均在 200~300 nm 紫外区出现强吸收峰[图 1(c)、图 1(d)],归属为酚羟基→金属离子的配体—金属电荷转移(LMCT)跃迁,其峰形和强度与 Nguyen等[10]报道的多酚—金属络合物特征的特征峰—致,表明络合物形成导致金属离子 d-d 电子跃迁信号消失[11]。而在 Fe³+体系中,Fe³+溶液与 DHPET/HPET 反应后颜色演变呈现动力学依赖性——在可见光区(HPET-Fe 580~600 nm; DHPET-Fe 720~760 nm)呈现特征吸收[图 1(b)],提示 Fe³+与邻苯二酚、苯酚基团的配位过程存在络合机制,且 DHPET-Fe 的红移现象表明其配位位点或配体场强度与 HPET-Fe 存在差异。

2.1.2 DHPET与HPET间光谱差异 图 2 的紫外一可见光谱显示,DHPET-Fe 络合物在 760 nm 处出现宽吸收带,相较于 HPET-Fe (580 nm) 红 移,表示邻苯二酚 基团 (DHPET)的双齿配位方式增强了配体场分裂能,而 HPET 的单酚羟基形成的单齿配位导致较弱的配位效应 [12]。进一步分析表明,DHPET-Fe 的八面体配位结构中,邻苯二酚 氧原子与 Fe^{3+} 形成双齿螯合,引发 $\pi \rightarrow d\pi^*$ 跃迁与 LMCT协同效应;而 HPET-Fe 的单齿配位仅涉及酚羟基氧原子与 Fe^{3+} 结合,形成六配位复合物 [13]。

图 3 显示溶液颜色与图 2 光谱特征的对应性,HPET-Fe 580~600 nm 处的吸收峰,该波段对应视觉呈现蓝紫色显色反应,DHPET-Fe 720~760 nm 处的吸收峰,对应视觉呈现深绿色显色反应(图 3),而其他金属—多酚体系(如HPET/DHPET-Cu和HPET/DHPET-Al)及空白对照均无此响应,证实了金属—多酚络合物的特异性生成,这启发了进一步思考比色分析的可行性,表明 Fe³+适用于基于比色法的 DHPET 快速检测,而 Al³+与 Cu²+络合物因紫外区信号重叠且无可见光响应,检测特异性受限。

DHPET-Fe络合物紫外一可见吸收光谱在760 nm处呈现特异性吸光度增强,与日光下DHPET-Fe溶液特有的深绿色显色现象和谐对应,证实了该络合反应对DHPET的高选择性。浓度梯度试验显示,760 nm处的吸光度值与DHPET浓度(20~100 mmol/L)呈显著线性正相关,且溶液颜色随浓度升高由浅绿渐变为深绿色,符合朗伯一比尔定律,表明该波长下的吸光信号可作为DHPET定量

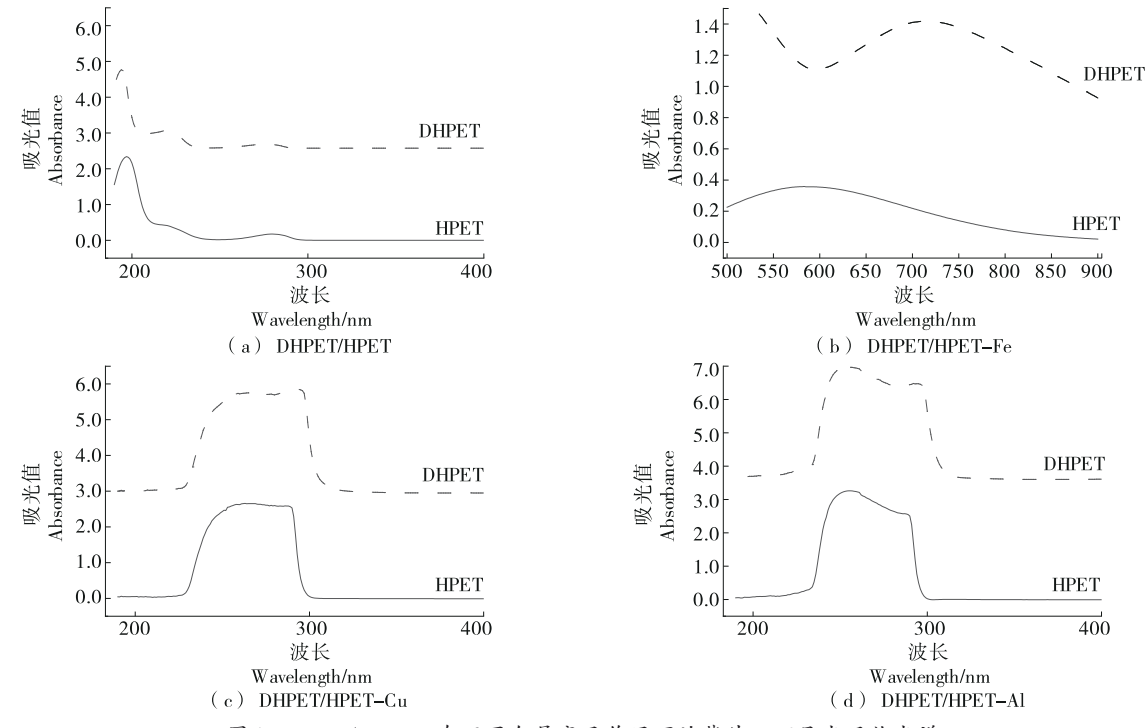
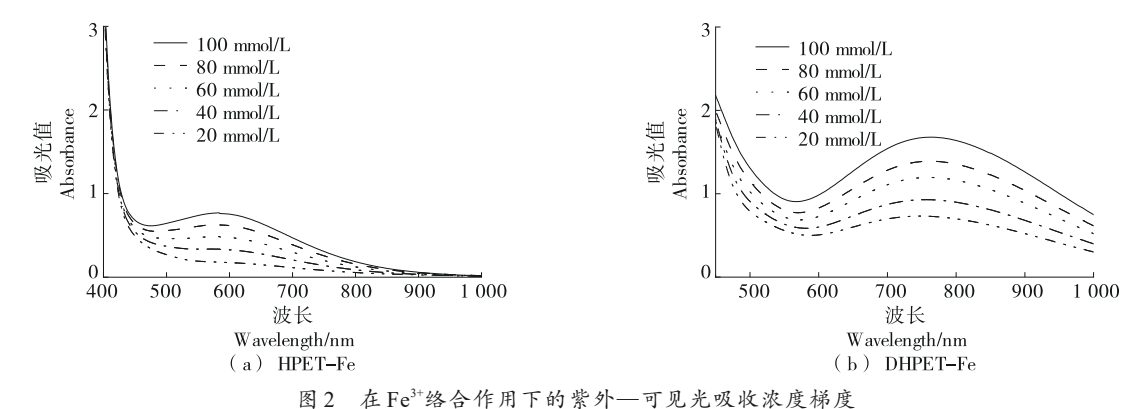


图1 HPET/DHPET在不同金属离子作用下的紫外—可见光吸收光谱

Figure 1 UV-vis absorption of HPET/DHPET in the presence of different metal ions



国2 在16 名百斤州下町水州 「九九及民派及称及

Figure 2 UV-visible absorption concentration gradients under Fe³⁺ complexation

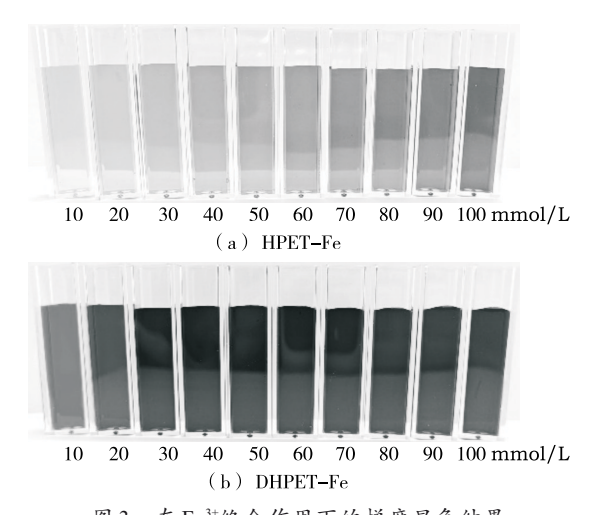


图 3 在 Fe³⁺络合作用下的梯度显色结果

Figure 3 Gradient color development results under Fe³⁺ complexation

分析的可靠指标。值得注意的是, HPET-Fe 体系在580 nm 处也表现出浓度依赖性吸光度增强及蓝紫色显色现象, 但其响应强度 (ΔA <0.03)远低于 DHPET-Fe 体系(ΔA >0.15), 可归因于 HPET 单酚羟基结构的单齿配位模

式相较于 DHPET 邻苯二酚双齿配位的弱配体场效应^[14]。以上结果表明, DHPET-Fe 相较于 HPET-Fe 体系有更强的选择特异性。

2.1.3 混合样品试样 为验证 DHPET-Fe 检测体系的选择性,对 DHPET/HPET 混合样品进行紫外—可见光谱分析,见图 4。结果表明,HPET-Fe 在 580~600 nm 的特征吸收峰完全消失[图 4(a)],而 DHPET-Fe 在 410~420,770~780 nm 处呈现特征吸收带[图 4(c)],其中 773.43 nm 处的宽吸收带(半峰宽 314.81 nm)依然与图 3 中日光显色现象形成光谱—视觉对应关系,且 760 nm 吸光值拟合曲线呈强线性相关[图 4(b)],证明双齿螯合优先级远高于单齿螯合。

该宽谱带源于八面体配位场中多重能级跃迁的叠加效应^[15],其显著峰面积占比 64.24%(表1),证实双齿配位模式具有更高的配位稳定性。760 nm的特异性响应源于邻苯二酚基团的双齿螯合作用,极大可能由于空间位阻效应使 DHPET 优先占据 Fe³⁺配位位点,形成双齿络合物,其配位稳定常数较 HPET 单齿配位模式高,从而有效抑制竞争性结合^[16]。上述试验现象证明,DHPET-Fe作为分光光度检测法的可行性。

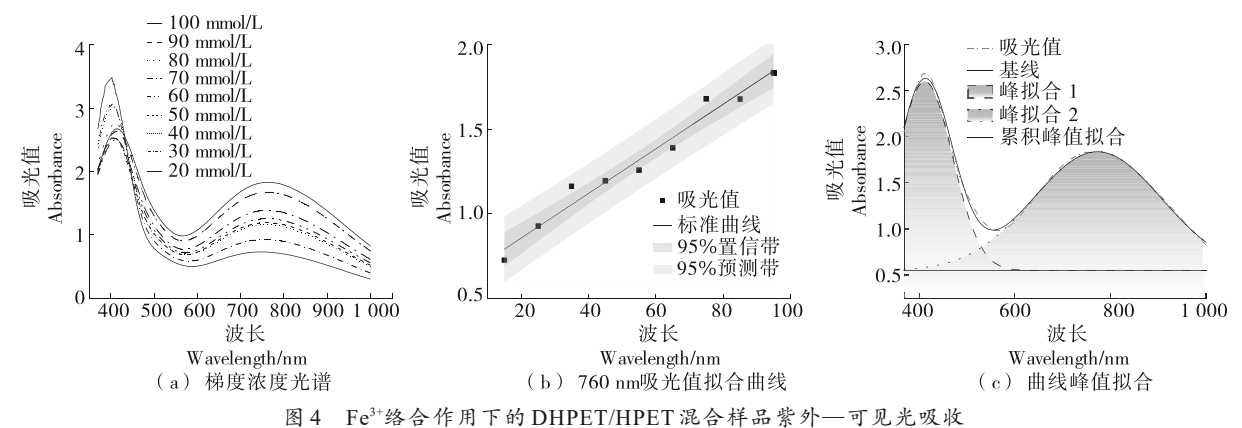


Figure 4 UV-visible absorption of mixed DHPET/HPET samples under Fe³⁺ complexation

表 1 DHPET 紫外一可见光吸收曲线峰值拟合数据[†]

Table 1	DHPET UV	-Vis absorption	curve peak fit data

波峰序号	峰值类型	拟合数据波峰面积	半峰宽	最大高度	波峰加权平均中心	拟合数据波峰面积百分比/%
1	Gaussian	228.260 73	135.430 36	2.041 07	413.619 89	35.757 57
2	Gaussian	410.095 65	314.805 83	1.283 28	773.425 93	64.242 43

† 卡方为 7.530 29×10⁻⁴; 调整 R²为 0.996 539。

2.2 吸收光谱条件优化

2.2.1 最佳反应浓度条件 在 pH 7.0 条件下,通过调节 DHPET与 FeCl₃的摩尔比(1:5~5:1),系统研究配位平衡对 DHPET-Fe 络合物形成的影响,见图 5。结果表明, DHPET 过量的样品在 750 nm 处观察到最大吸光度,对应于邻苯二酚双齿配位形成的稳定八面体络合物,此时 Fe³⁺配位位点被 DHPET饱和,抑制了游离金属离子的氧化活性^[17]。Fe³⁺过量的条件下,吸光峰蓝移至 720 nm,且吸光度显著降低,表明过量 Fe³⁺通过芬顿反应引发 DHPET的氧化降解,生成醌类产物^[18]。同时部分 Fe³⁺以游离态或羟基水合离子 [Fe(H₂O)₆] ³⁺形式存在,导致配位信号减弱^[19]。

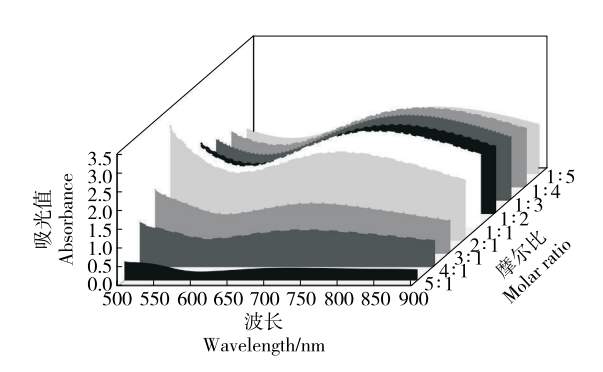


图 5 配位平衡对 DHPET-Fe 络合物形成的影响 Figure 5 Effect of coordination equilibrium on the formation of DHPET-Fe complexes

上述现象证实, DHPET与 Fe³⁺的摩尔比显著影响络合物的形成与稳定性。优化配比(1:1)时,750 nm 吸光度达峰值(*A*=2.52), 且溶液呈均一深绿色, 表明双齿配位主导络合机制; 而 Fe³⁺过量引发的氧化副反应可能干扰定量检测, 需通过控制金属离子浓度予以抑制。

2.2.2 最佳反应 pH 如图 6 所示, Fe³⁺的配位水合作用通过降低配位水 pKa 促使羟基解离^[20], 释放的质子驱动金属氢氧化物前驱体形成, 进而影响 DHPET 的螯合能力, 使 DHPET 与 Fe³⁺的配位行为呈显著 pH 依赖性。酸性区间(pH 3~5)中儿茶酚羟基质子化(—OH), 与 Fe³⁺仅通过单齿配位结合, 形成不稳定的单核络合物^[21], 导致紫外光谱在 580 nm 处呈现弱吸收, 且无可见显色。当 pH 升至近中性区间(pH 6.6)时, 羟基去质子化形成邻苯二酚负离子, 与 Fe³⁺形成双齿螯合八面体结构^[22], 770 nm 处出现强

LMCT吸收带,溶液显深绿色。而当进入碱性区间(pH>7.5)时出现酒红色配合物,其420 nm处蓝移吸收带对应三齿配位构型^[23],该结构的形成导致摩尔吸光系数降低约40%。进一步增加pH至8后将引发Fe(OH)₃沉淀,导致信号衰减^[24]。综上,pH6.6条件下,双齿配位主导的强LMCT效应与高稳定性,使其成为DHPET分光光度检测的最优窗口。

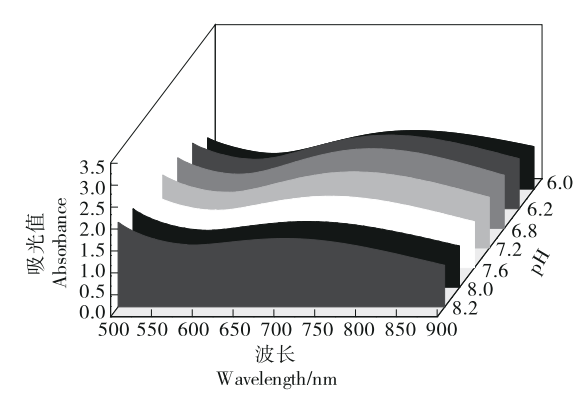


图 6 酸碱环境对 DHPET-Fe 络合物形成的影响

Figure 6 Effect of acid-base environment on the formation of DHPET-Fe complexes

2.3 DHPET检测方法建立

2.3.1 标准曲线 梯度配制 10~100 mmol/L 区间内 3,4-二羟基苯乙醇 (DHPET) 标准溶液,分别与 100 mmol/L FeCl₃溶液按 1:1 体积混合,调整 pH 6.6,室温避光反应 1 min。于 760 nm 处测定吸光度(A),以 DHPET浓度为横坐标、A 值为纵坐标拟合线性方程(见 2.3.2)。取待测液体与等体积 FeCl₃溶液反应,同标准曲线条件方法进行反应后测定吸光度(A)值,代入方程计算 DHPET浓度。

2.3.2 方法检出限与精密度 针对上述标曲进行线下拟合,结果如图7所示。

以 DHPET 标准品为自变量,对应吸光值为因变量,进行偏最小乘法拟合,得到拟合方程如表 2 所示。吸光度与浓度在 $10\sim100~\text{mmol/L}$ 范围呈良好的线性关系,其线性回归方程为: Y=0.014~09x+0.654~22,决定系数 $R^2=0.991~82$ 。计算得检出限 MDL值为 0.709,以 4 倍检出限作为测定下限,结果见表 2。

相对标准偏差(RSD)与相对误差(RE)是衡量模型预测值与真实值误差的指标,二者值越小模型可靠性越强。

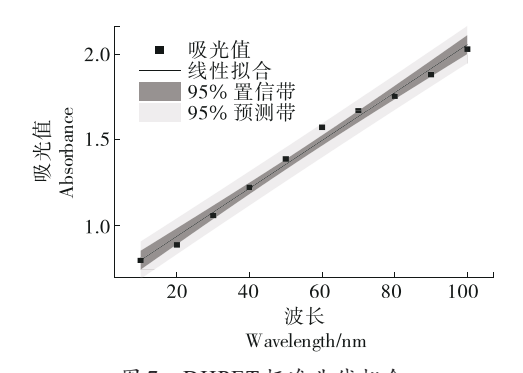


图 7 DHPET 标准曲线拟合 Figure 7 DHPET labelled curve fitting

表 2 拟合方程及其检出限

Table 2 Fitting equations and their detection limits

编号	浓度/ (mmol·L ⁻¹)	吸光度	回归直线	检出限	测定 下限
1	100	2.037 61	Y = 0.014 09x +	0.709	2.836
2	90	1.888 10	0.654 22		
3	80	1.760 99			
4	70	1.676 43			
5	60	1.576 99			
6	50	1.390 70			
7	40	1.224 88			
8	30	1.058 03			
9	20	0.885 40			
10	10	0.795 20			

结果表明, DHPET 浓度在 10~90 mmol/L 范围时, 相对标准偏差为 0.30%~1.92%, 相对误差为 -0.40%~0.62%, 表

明模型的精度高,精密度检测试验结果见表3。

为进一步检验模型的可靠性,对模型进行复合残差分析,如图 8 所示。正态概率图紧密贴合参考线;残差一拟合值散点图未检测到显著的非线性模式,呈现随机点状分布模式,均不超过临界值 $t_{0.025}(8)$ = 2.306,有效支持模型线性设定;数据序列图于水平轴上无规则变化;残差分布直方图呈现近似对称结构且中心化于零点,虽存在轻微左偏现象,但仍满足正态分布假设。

2.3.3 方法比对与实际酶促样品验证 如图 9 所示,紫外一可见分光光度法(Vis-UV)与高效液相色谱法(HPLC)对 DHPET 的定量分析均表现出优异线性,其标准曲线相关系数(R²)分别达 0.995 9.0.999 9。

但高效液相色谱法由于色谱柱容量的限制,浓度过高时无法准确定量,需要对样品进行稀释,而分光光度法虽检测限较高,但其线性范围更宽,无需复杂前处理即可直接测定催化反应液中的DHPET浓度。采用实际酶促反应样品,通过液相色谱法进行进一步方法比对验证,色谱图如图10所示。可以明显发现,随着酶催化反应的进程,样品2的DHPET浓度相较于样品1上升,HPET浓度下降。

DHPET 相较于 HPET 因邻苯二酚结构多一个酚羟基,其极性与亲水性显著增强,导致在反相色谱中保留时间缩短。试验表明,DHPET 的保留时间为(6.5±0.3) min,而 HPET 为(8.3±0.3) min。尽管 HPLC 法可实现高分辨率分离,但其单次分析耗时长达 25~40 min,相较于分光光度法时间效率偏低。因此,在催化工艺优化中,分光光度法可更好地用于实时监控,而 HPLC 作为仲裁方法用于痕量杂质鉴定。以上双方法标准溶液精密度试验对比见表4。

表 3 精密度检测试验

Table 3 Precision testing experiment

编号		低浓度		中浓度			高浓度		
	吸光度	测量值/ (mmol·L ⁻¹)	实际值/ (mmol·L ⁻¹)	吸光度	测量值/ (mmol·L ⁻¹)	实际值/ (mmol·L ⁻¹)	吸光度	测量值/ (mmol·L ⁻¹	实际值/)(mmol·L ⁻¹)
1	0.792	9.779	10	1.365	50.446	50	1.782	80.041	80
2	0.793	9.850		1.364	50.375		1.763	78.693	
3	0.796	10.062		1.357	49.878		1.791	80.680	
4	0.799	10.275		1.325	47.607		1.772	79.331	
5	0.795	9.991		1.365	50.446		1.785	80.254	
6	0.796	10.062		1.342	48.813		1.791	80.680	
7	0.797	10.133		1.349	49.310		1.765	78.835	
8	0.800	10.346		1.360	50.091		1.779	79.828	
$\bar{x}/(\text{mmol} \cdot \text{L}^{-1})$		10.062 4			49.798 0			80.039 4	
$SD/(mmol\!\cdot\! L^{-1})$		0.193 4			0.661 9			0.266 7	
RSD/%		1.92			1.33			0.30	
RE/%		0.62			-0.40			0.04	

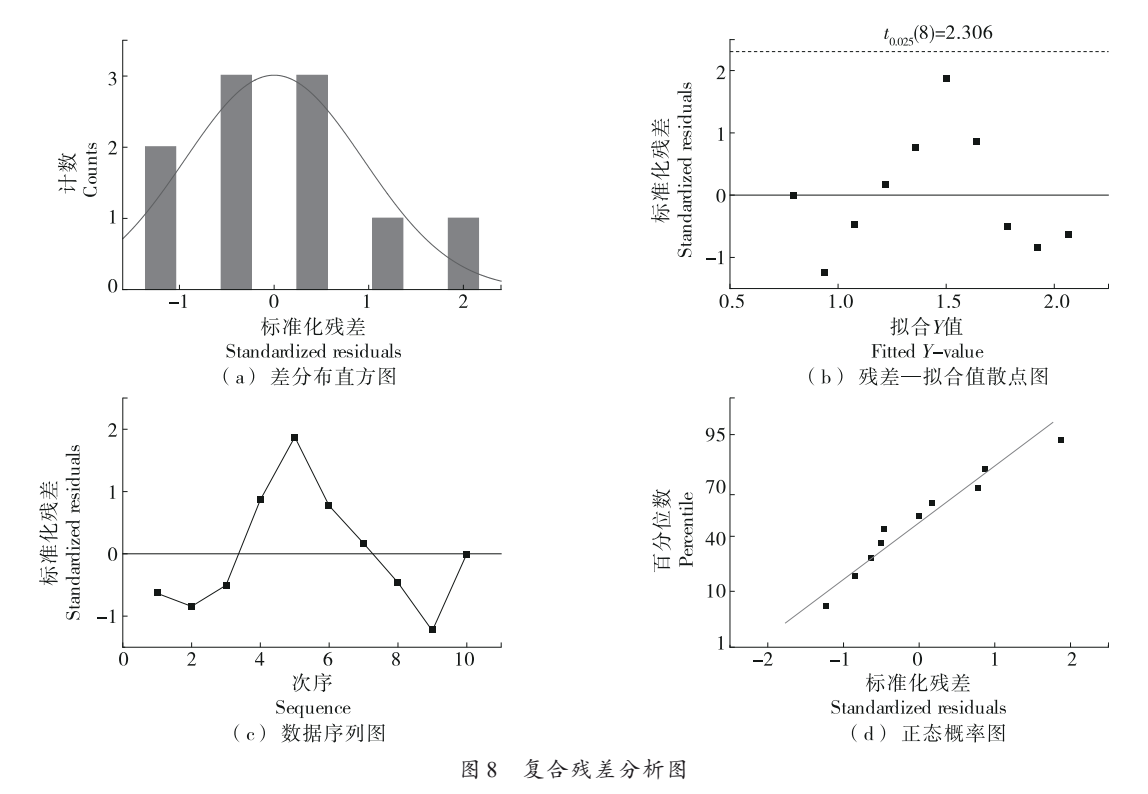


Figure 8 Composite residual analysis plot

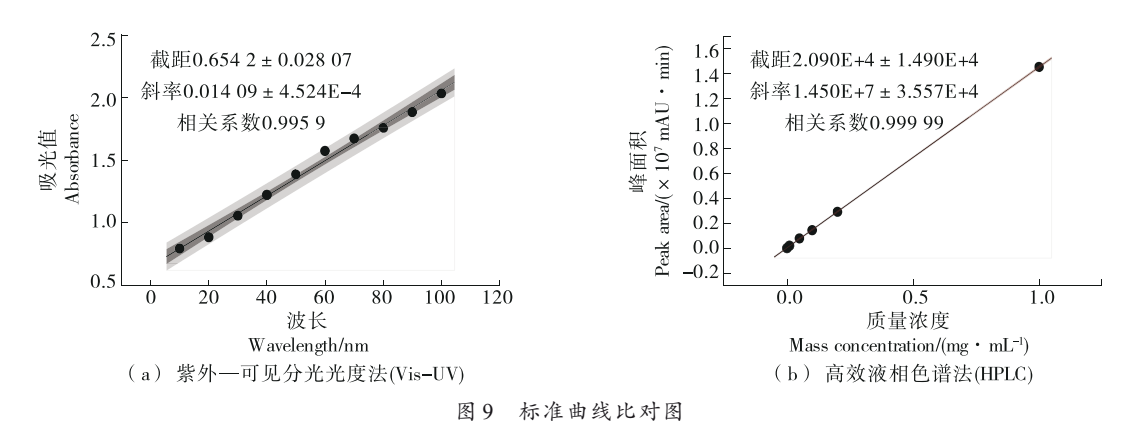


Figure 9 Standard curve comparison chart

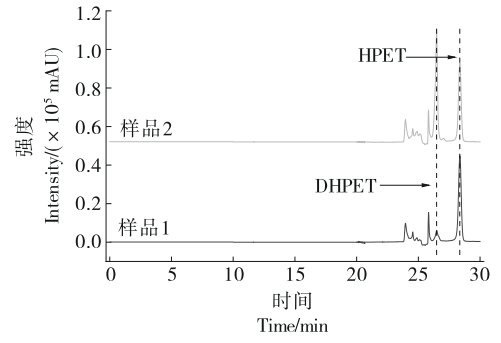


图 10 实际酶促样品高效液相色谱(HPLC)图比对
Figure 10 Comparison of high-performance liquid chromatograms of actual enzymatic samples

两种方法的精密度均在可接受范围内,配对差值双侧显示两组数据无显著性差异(P>0.05),证实分光光度法在催化体系监控中可替代HPLC用于常规分析,尤其在需频次高、快速反馈的工艺优化场景中更具应用优势。进一步对其中实际反应样品1进行加标试验分析,结果见表5。

紫外一可见分光光度法(Vis-UV)与高效液相色谱法(HPLC)对 DHPET 的加标回收率均表现良好,表明两种方法的准确度均满足分析要求。进一步对比发现:HPLC检测限更低,适用于样本组分痕量分析,但其单次分析耗时较长,且仪器维护成本高昂,限制了其在合成工艺优化中的高频次应用^[25];Vis-UV的检测限较高,但分析速度提

表 4 双方法标准溶液精密度试验对比

Table 4 Comparison of precision tests of standard solutions of both methods

编号	分光光度法测算	定值/(mg·mL ⁻¹)	液相色谱法测定值/(mg·mL ⁻¹)		配对差值/(mg·mL ⁻¹)	
	样品1	样品2	样品1	样品2	样品1	样品2
1	3.247 1	22.678 5	3.318 3	22.629 2	0.071 2	0.049 3
2	3.290 9	22.722 2	3.319 3	22.630 6	0.028 4	0.091 7
3	3.367 4	22.383 1	3.318 7	22.629 5	0.048 7	0.246 5
4	0.104 0	3.214 3	22.744 1	3.318 3	22.629 0	0.115 2
5	0.071 0	3.247 1	22.547 2	3.318 1	22.629 5	0.082 3
6	3.334 6	22.667 5	3.319 9	22.630 1	0.014 7	0.037 5
7	3.312 7	22.536 2	3.320 1	22.628 4	0.007 3	0.092 2
平均值/(mg·mL ⁻¹)	3.287 73	22.611 27	3.318 95	22.629 48	0.049 34	0.102 08
标准偏差/(mg·mL ⁻¹)	0.054 60	0.128 75	0.000 81	0.000 71	0.034 96	0.069 02
RSD/%	1.661	0.569	0.024	0.003		
P值					0.16	0.71

表 5 双方法加标对比分析

Table 5 Comparative analysis of bifurcated labelling

编号	分光光度法测定值/(mg·mL ⁻¹)			液相色谱法测定值/(mg·mL-1)			
	10 mg/mL	20 mg/mL	40 mg/mL	10 mg/mL	20 mg/mL	40 mg/mI	
1	13.302 0	22.621 4	42.318 0	13.269 2	23.366 9	42.334 6	
2	13.345 7	22.577 6	42.646 2	13.269 8	23.368 4	42.333 6	
3	13.334 8	22.643 2	42.099 1	13.268 5	23.367 3	42.332 4	
4	13.312 9	22.621 4	42.536 8	13.269 2	23.368 9	42.333 0	
5	13.291 0	22.599 5	42.427 4	13.269 4	23.367 6	42.334 9	
6	13.345 7	22.665 1	42.427 4	13.268 5	23.366 6	42.332 7	
7	13.389 5	22.577 6	41.989 7	13.268 8	23.368 4	42.333 3	
平均值/(mg·mL ⁻¹)	13.331 66	22.615 11	42.349 22	13.269 06	23.367 71	42.333 49	
回收率/%	100.44	96.64	97.65	99.81	100.40	97.61	
回收率均值/%		98.24			99.28		
$S_{\overline{n}}/\%$		1.97			1.47		

升,若使用酶标仪批量检测可实现每小时超300个样本高速检测,且无需复杂前处理,适用于生物一化学催化合成体系中DHPET的实时浓度监控。综上,在DHPET工业化合成工艺开发中,分光光度法凭借其高效率、操作简易性及可集成的潜力,展现出显著的经济效益优势。

3 结论

该研究基于 Fe^{3+} 配位化学调控原理,构建了 3,4-二 羟基苯乙醇的高选择性紫外一可见分光光度法检测体系。通过 Fe^{3+} 与 3,4-二羟基苯乙醇邻苯二酚基团的双齿 螯合作用,诱导特征吸收光谱红移至 760 nm,显著区别于 单酚羟基化合物的弱配位响应,解决了传统紫外法因光 谱重叠导致的选择性不足问题。在优化条件 pH 6.6,3,4-二羟基苯乙醇/ Fe^{3+} 摩尔比 1:1 下,方法线性范围达 $3\sim100$ mmol/ $L(R^2>0.99)$,检出限为 0.709 mmol/L,精密度 (相对标准偏差 <2%)和加标回收率 (98.24%)满足工业催化体系实时监控需求,检测效率较高效液相色谱法提

升,单样检测时间由 25 min 以上缩减至 3 min,且无需复杂前处理。

紫外一可见分光光度法检测限仍高于高效液相色谱法,对痕量分析的适用性受限,且复杂基质中Fe³⁺与其他多酚的竞争配位可能干扰检测精度。未来研究可聚焦以下方向:① 开发辅助信号放大策略以提升灵敏度;② 设计抗干扰配位体系,实现3,4-二羟基苯乙醇合成工艺的全流程智能化控制。

参考文献

- [1] LEOPOLDINI M, MARINO T, RUSSO N, et al. Antioxidant properties of phenolic compounds: H-Atom versus electron transfer mechanism[J]. The Journal of Physical Chemistry A, 2004, 108(22): 4 916-4 922.
- [2] 刘文彬, 陈婵, 唐伟康. 一种模拟酶催化反应合成羟基酪醇的方法: CN115010583A[P]. 2022-09-06.
 - LIU W B, CHEN C, TANG W K. A method for synthesizing

- hydroxytyrosol by mimicking enzyme-catalyzed reaction: CN115010583A[P1, 2022-09-06.
- [3] ESPÍN J C, SOLER-RIVAS C, CANTOS E, et al. Synthesis of the antioxidant hydroxytyrosol using tyrosinase as biocatalyst [J]. Journal of Agricultural and Food Chemistry, 2001, 49(3): 1 187-1 193.
- [4] PIÑEIRO Z, CANTOS-VILLAR E, PALMA M, et al. Direct liquid chromatography method for the simultaneous quantification of hydroxytyrosol and tyrosol in red wines[J]. Journal of Agricultural and Food Chemistry, 2011, 59(21): 11 683-11 689
- [5] MIRALLES P, CHISVERT A, SALVADOR A. Determination of hydroxytyrosol and tyrosol by liquid chromatography for the quality control of cosmetic products based on olive extracts[J]. Journal of Pharmaceutical and Biomedical Analysis, 2015, 102: 157-161
- [6] SUN P, SHANG M Z, XIE R Y, et al. Dual-mode fluorimetric and colorimetric sensors based on iron and nitrogen co-doped carbon dots for the detection of dopamine[J]. Food Chemistry, 2024, 445: 138794.
- [7] ESPINA A, CAÑAMARES M V, JURAŠEKOVÁ Z, et al. Analysis of iron complexes of tannic acid and other related polyphenols as revealed by spectroscopic techniques: implications in the identification and characterization of iron gall inks in historical manuscripts[J]. ACS Omega, 2022, 7(32): 27 937-27 949.
- [8] 佟静, 李象远. 酪氨酸与色氨酸间电子转移——氧化还原活性及电子跃迁能的从头算研究[J]. 化学学报, 2002(6): 1 029-1 034.

 TONG J, LI X Y. Electron Transfer between tryptophan and tyrosine—ab initio study on redox reactivity and electronic transition energy[J]. Acta Chimica Sinica, 2002(6): 1 029-1 034.
- [9] OWEN R W, HAUBNER R, MIER W, et al. Isolation, structure elucidation and antioxidant potential of the major phenolic and flavonoid compounds in brined olive drupes[J]. Food and Chemical Toxicology, 2003, 41(5): 703-717.
- [10] NGUYEN M, MEUNIER B, ROBERT A. Catechol-based ligands as potential metal chelators inhibiting redox activity in alzheimer's disease[J]. European Journal of Inorganic Chemistry, 2017, 2 017(25): 3 198-3 204.
- [11] 宦双燕, 王玉枝, 游常军. 波谱分析[M]. 北京: 化学工业出版 社, 2023: 8-17. HUAN S Y, WANG Y Z, YOU C J. Spectral analysis[M]. Beijing: Chemical Industry Press, 2023: 8-17.
- [12] LO S I, LU J W, CHEN W J, et al. Functional model for catecholase-like activity: synthesis, structure, spectra, and catalytic activity of iron (III) complexes with substitutedsalicylaldimine ligands[J]. Inorganica Chimica Acta, 2009, 362 (13): 4 699-4 705.
- [13] KITOS A A, PAPATRIANTAFYLLOPOULOU C, TASIOPOULOS A J, et al. Binding of ligands containing carbonyl and phenol groups to iron (iii): new Fe $_6$, Fe $_{10}$ and Fe $_{12}$

- coordination clusters[J]. Dalton Trans, 2017, 46(10): 3 240-3 251.
- [14] LEWIS R W, MALIC N, SAITO K, et al. Linear coordination polymer synthesis from bis-catechol functionalized raft polymers[J]. Macromolecular Rapid Communications, 2020, 41(18): 2000366.
- [15] LI Y R, WEN J, QIN M, et al. Single-molecule mechanics of catechol-iron coordination bonds[J]. ACS Biomaterials Science & Engineering, 2017, 3(6): 979-989.
- [16] CRISPONI G, NURCHI V M, PIVETTA T. Potentiometric and spectrophotometric equilibrium study on Fe (III) and new catechol-bisphosphonate conjugates[J]. Journal of Inorganic Biochemistry, 2008, 102(2): 209-215.
- [17] ANDJELKOVIC M, VANCAMP J, DEMEULENAER B, et al. Iron-chelation properties of phenolic acids bearing catechol and galloyl groups[J]. Food Chemistry, 2006, 98(1): 23-31.
- [18] 张蕾. 基于配位场理论的有机配体助催化芬顿氧化过程机制研究[D]. 西安: 西安建筑科技大学, 2024: 78-84.

 ZHANG L. Mechanism study of organic ligands-assisted fenton oxidation process based on coordination field theor [D].

 Xi'an: Xi'an University of Architecture and Technology, 2024: 78-84.
- [19] SEVER M J, WILKER J J. Absorption spectroscopy and binding constants for first-row transition metal complexes of a DOPA-containing peptide[J]. Dalton Trans, 2006(6): 813-822.
- [20] 江睿. Fe(II) 与植酸在水铁矿表面的共吸附及其催化转化效应研究[D]. 南昌: 江西农业大学, 2022: 5-11.

 JIANG R. Study on co-sorption of phytate and Fe(II) on ferrihydrite and the effect of phytate on Fe(II) -catalyzed ferrihydrite transformation[D]. Nanchang: Jiangxi Agricultural University, 2022: 5-11.
- [21] XIAO J, WANG C, LYU S S, et al. Enhancement of Fenton degradation by catechol in a wide initial pH range[J]. Separation and Purification Technology, 2016, 169: 202-209.
- [22] INOMATA T, ENDO S, IDO H, et al. Iron (III) complexes with hybrid-type artificial siderophores containing catecholate and hydroxamate sites[J]. Inorganic Chemistry, 2023, 62(40): 16 362-16 377.
- [23] ELHABIRI M, CARRËR C, MARMOLLE F, et al. Complexation of iron (III) by catecholate-type polyphenols[J]. Inorganica Chimica Acta, 2007, 360(1): 353-359.
- [24] SEVER M J, WILKER J J. Visible absorption spectra of metalcatecholate and metal-tironate complexes[J]. Dalton Transactions, 2004(7): 1 061-1 072.
- [25] 杨纯, 魏然, 孙文, 等. 分光光度法与高效液相色谱法检测甲醛含量的方法比较[J]. 印染助剂, 2024, 41(5): 49-52. YANG C, WEI R, SUN W, et al. Comparison of methods for determination of formaldehyde content by spectrophotometry and high-performance liquid chromatography[J]. Textile Auxiliaries, 2024, 41(5): 49-52.